

2025 届高中毕业班适应性练习卷

地 理

本试题卷分选择题和非选择题两部分，共 5 页，满分 100 分，考试时间 75 分钟。

考生注意：

1.答题前，请务必将自己的姓名、准考证号用黑色字迹的签字笔或钢笔分别填写在试题卷和答题纸规定的位置上。

2.答题时，请按照答题纸上“注意事项”的要求，在答题纸相应的位置上规范作答，在本试题卷上的作答一律无效。

选择题部分

本试题卷分选择题和非选择题两部分，共 8 页，满分 100 分，考试时间 75 分钟。

一、**选择题**（本大题共 16 小题，每小题 3 分，共 48 分。每小题列出的四个备选项中只有一个是符合目要求的，不选、多选、错选均不得分）

低空经济产业是以各种航空器的低空飞行活动为牵引，辐射带动相关产业发展的新兴产业。近些年，合肥市大力发展新材料、新一代信息技术、低空经济等产业，目前正在调试的电动垂直起降航空器（如下图所示）被视为未来城市立体智慧交通发展的一种新的解决方式。据此完成 1-3 题。

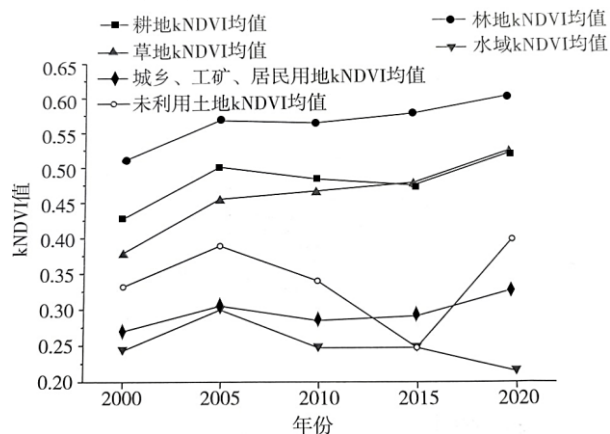


- 合肥市发展低空经济产业的突出区位优势是
A. 产业基础雄厚 B. 土地资源充足 C. 消费市场广阔 D. 交通运输便捷
- 电动垂直起降航空器在解决未来城市交通问题方面的优点有
①污染小 ②效率高 ③飞行远 ④成本低
A. ①② B. ②③ C. ②④ D. ③④
- 地理信息系统在低空经济产业中可用于
A. 无人机的导航 B. 观测地面状况 C. 无人机的调度 D. 计算飞行高度

即时零售依托本地仓储与即时配送网络重构城市商业空间。前置仓与社区门店的密集分布推动了“近场化”商业节点形成，而配送站点依赖城市主干道实现 30 分钟覆盖圈。研究显示，即时零售订单使城市内部短途物流占比提升至 45%，同时催生了“仓储-配送-社区”新型空间耦合模式，对传统商业中心依赖性下降。据此完成 4-5 题。

- 即时零售的本地仓储设施多布局于居民区附近，主要目的是（ ）
A. 降低土地租金成本 B. 缩短商品交付时间
C. 减少包装材料消耗 D. 扩大品牌宣传范围
- 即时零售的“近场化”商业节点分布，对一线城市空间结构的深层影响是（ ）
A. 强化单核心商业集聚模式 B. 加剧早晚高峰主干道拥堵
C. 扩大工业区与居住区距离 D. 促进多中心商业层级形成

核归一化差异植被指数 (kNDVI) 是基于遥感影像数据计算的植被指数, 可用于研究植被及其生长状态, 指数与植被覆盖度呈正相关。下图示意 2000-2020 年京津冀地区不同土地利用类型 kNDVI 的均值变化。据此完成 6-7 题。

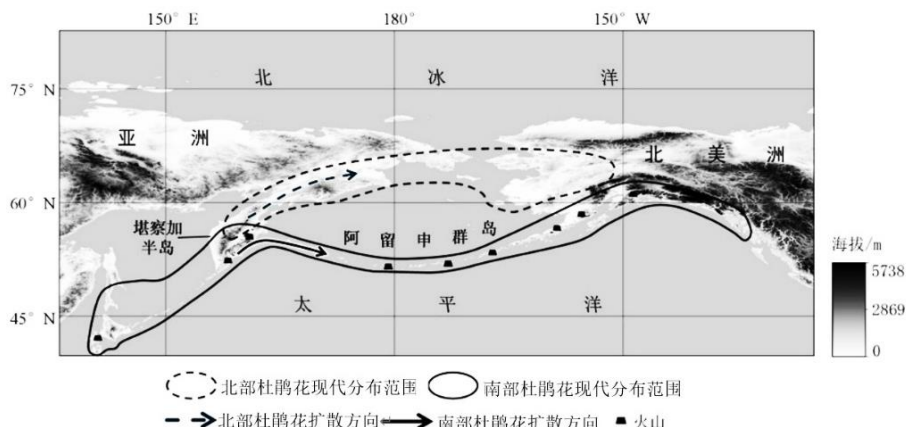


6. 由图可知, 2000-2020 年京津冀地区
- A. kNDVI 均值总体呈先增后减趋势
 - B. kNDVI 均值变化表现出区域差异性
 - C. 未利用土地 kNDVI 均值基本平稳
 - D. 降水稳定导致水域 kNDVI 均值下降
7. 2000-2020 年, kNDVI 均值的变化说明
- A. 区域耕地数量不断增加
 - B. 林草工程生态效益显著
 - C. 城乡建设用地开发增强
 - D. 水域碳汇能力有所增加

闽东地处福建东北部, 位于我国大陆黄金海岸线中段, 是海雾多发的区域。闽东海雾天气多发生于冬、春季, 12 月至次年 5 月为多发期, 其中春季多平流雾, 冬季多辐射雾, 夏季雾日天数相对较少。据此完成 8-9 题。

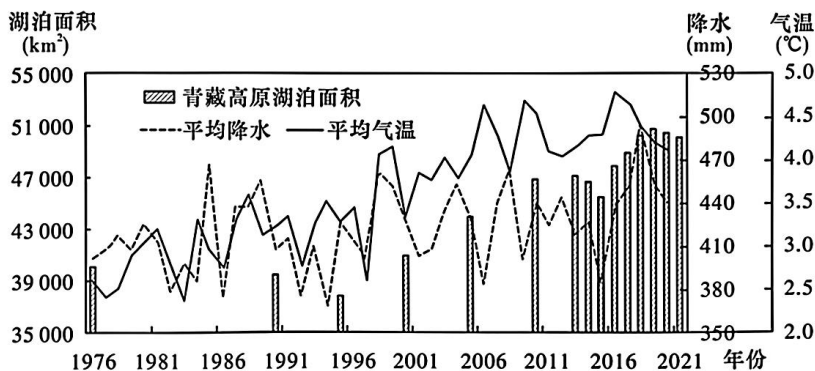
8. 一天当中, 海雾最常见的时间段是 ()
- A. 清晨
 - B. 中午
 - C. 下午
 - D. 晚上
9. 与闽东沿海夏季海雾偏少相关性最大的天气状况是 ()
- A. 晴朗干燥
 - B. 潮湿多云
 - C. 寒冷多雨
 - D. 温暖有风

堪察加杜鹃花起源于堪察加半岛, 属喜寒植物, 但极端寒冷会对其造成伤害, 目前广泛分布在东北亚和北美西北部的山区。堪察加杜鹃花种子很小, 能被风吹到 1000 米高空, 一次传播 100 米而不落地。由于水热条件差异, 堪察加杜鹃花分南北两个物种, 北部杜鹃花更加低矮, 匍匐贴地生长。末次冰期时, 海平面下降, 亚欧大陆和北美大陆相连, 两个杜鹃花物种分别通过南北两条路线扩散到北美。下图示意堪察加杜鹃花末次冰期扩散路线及现代分布格局。据此完成 10-11 题。



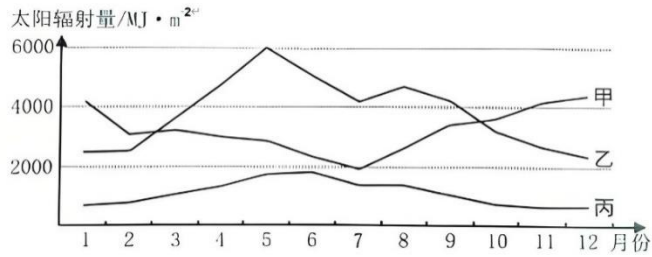
10. 末次冰期后，北美南部杜鹃花分布的南界纬度高于亚洲，其根本原因在于北美西海岸的（ ）
- A. 山脉阻挡焚风效应显著 B. 洋流与地形调节冬季气温
C. 夏季西风带来充足降水 D. 地壳抬升形成新生栖息地
11. 堪察加杜鹃花种子“高空远距传播”特性在冰期扩散中的局限性体现在（ ）
- A. 火山活跃带的阻隔作用显著 B. 依赖连续陆桥完成跨洋传播
C. 受限于逆温层阻碍垂直运动 D. 种子容易被气流带入平流层

青藏高原是气候变化的敏感区域，在全球气候变暖的背景下，高原湖泊发生明显变化。科研人员基于青藏高原湖泊遥感数据，分析了1970~2021年青藏高原大于1km²的湖泊面积的时空变化特征。研究表明，西藏自治区与青海省湖泊面积变化趋势与整个青藏高原变化趋势相似，西藏自治区湖泊面积变化与气温的相关性更好，青海省湖泊面积变化则与降水的相关性较高。青藏高原以内流湖为主，内流湖一年内的面积变化剧烈，科研人员在研究内流湖年际变化时优先选用10、11月的遥感影像作为分析对象。图为青藏高原湖泊面积与年降水、气温过程线。完成下面12-14题。



12. 有关青藏高原湖泊面积变化说法正确的是（ ）
- A. 青海省湖泊面积呈现增加的态势 B. 西藏自治区湖泊面积呈现增加的态势
C. 青海省湖泊面积先减少后波动增加 D. 西藏自治区湖泊面积先波动增加后减少
13. 西藏自治区湖泊面积变化与气温的相关性更高的原因是（ ）
- ①降水量呈减少趋势 ②冰川面积更大
③受全球气候变暖影响增温更明显 ④多年冻土面积分布广
- A. ①② B. ①③ C. ③④ D. ②④
14. 科研人员在研究内流湖年际变化时优先选用10、11月的遥感影像作为分析对象，其原因是该时段（ ）
- A. 晴天多，云层对遥感影像影响小 B. 内流湖水量收支大体平衡
C. 气温适宜，适合进行野外考察 D. 湖面开始结冰容易获取图像

近年来，节能建筑受到人们的普遍关注，北京市某中学地理兴趣小组在2010年对该校教学楼进行研究。下图中甲、乙、丙示意教学楼楼顶水平面、南墙、北墙单位面积接受太阳辐射量的月变化。据此完成15-16题。



15. 图中的甲、乙、丙依次代表

- A. 北墙 水平面 南墙 B. 水平面 北墙 南墙
 C. 南墙 水平面 北墙 D. 水平面 南墙 北墙

16. 乙各月太阳辐射量差异及其主要影响因素是

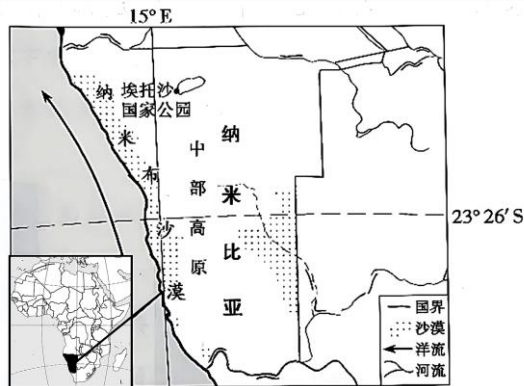
- A. 5月太阳辐射量多于7月，大气环流 B. 5月太阳辐射量多于7月，纬度位置
 C. 7月太阳辐射量少于8月，太阳高度 D. 7月太阳辐射量少于8月，白昼长短

非选择题部分

二、非选择题（本大题共3小题，共52分）

17. 阅读图文材料，完成下列要求。（10分）

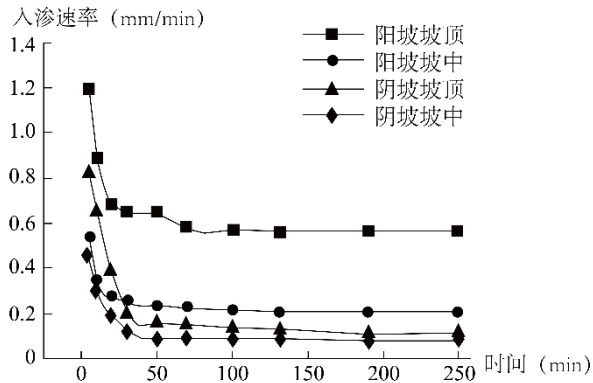
纳米比亚位于非洲西南部，大部分地区海拔在 1000-1500m，地广人稀。埃托沙国家公园是纳米比亚最大的公园，是重要的野生动物保护区，该园区有一个面积达 4800km² 的巨大盐沼，地貌复杂，是许多珍禽奇兽的栖息之地。下图示意埃托沙国家公园位置。



(1) 分析埃托沙国家公园物种丰富的原因，并指出埃托沙国家公园对纳米比亚国家生态安全的意义。（10分）

18. 阅读图文材料，完成下列要求。（20分）

风火山流域地处青藏高原，多冻土发育。全球气候变暖使地表径流显著影响冻土活动层的土壤孔隙与水分，导致冻土活动层的入渗速率增大。研究发现，与其他部位相比，阳坡坡顶的入渗速率最大，但土壤表层含水量最少。下图示意该流域冻结初期冻土活动层各坡向坡位的入渗速率随时间的变化。



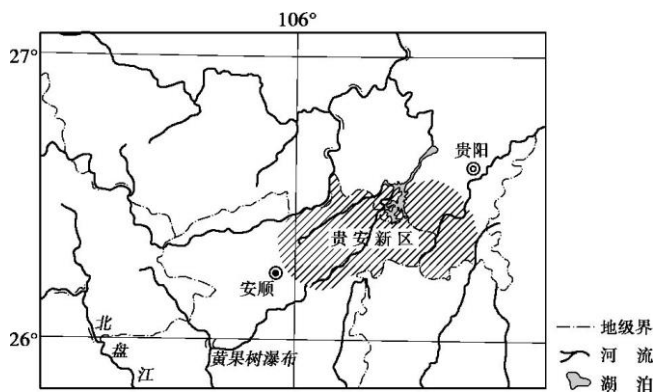
(1) 结合图表，说明阳坡与阴坡在冻结初期入渗速率的时空差异，并分析入渗速率与坡位的关系。(6分)

(2) 全球气候变暖可能加剧风火山流域冻土退化。推测冻土退化对该区域地表径流和地下水的
具体影响，并解释原因。(8分)

(3) 为缓解阳坡坡顶土壤含水量过少的问题，有人建议种植耐旱灌木。请从水循环角度评价该
措施的可行性。(6分)

19. 阅读图文材料，回答下列问题。(22分)

数据中心是用特定设备在互联网上传输、存储数据信息的场所。数据中心的规模以设备运行耗能的多少来衡量，规模越大，运营成本越高，在“东数西算”国家战略推动下，数据中心布局呈现显著空间重构。2010年前，受网络延迟和市场需求影响，90%以上的数据中心集中在北上广深等东部城市。随着“碳达峰”目标和新型基础设施建设的推进，位于贵州中部的贵安新区依托独特的地理条件和政策支持，已成为我国南方最大的数据中心集聚地和全国一体化算力网络枢纽节点。下图示意贵安新区位置。



(1) 从自然地理角度，分析贵安新区建设大型数据中心的突出优势。(6分)

(2) 试说明数据中心集聚对贵安新区区域经济发展的有利影响。(8分)

(3) 为应对未来气候变化和能源需求增长，贵安新区需进一步提升数据中心的可持续性。请提出可行性建议。(8分)